

文章编号: 1007 - 4627(2007)04 - 0268 - 06

## $SU(2)$ Chern-Simons 涡旋解的拓扑结构\*

刘紫玉<sup>1,3</sup>, 李希国<sup>1,2,#</sup>, 张鹏鸣<sup>1,2</sup>, 李永青<sup>1,3</sup>

(1 中国科学院近代物理研究所, 甘肃 兰州 730000;

2 兰州重离子加速器国家实验室原子核理论中心, 甘肃 兰州 730000;

3 中国科学院研究生院, 北京 100049)

**摘要:** 运用规范势分解理论研究了 Dunne-Jackiw-Pi-Trugenberg 模型中的自对偶方程, 得到一个静态的自对偶 Chern-Simons 多涡旋解, 每个涡旋由 5 个参数描述。发现了自对偶解与拓扑数之间的关系, 而拓扑数由 Brouwer 度与 Hopf 指标确定。同时, 也研究了该涡旋解的磁通量的拓扑量子化。

**关键词:** Chern-Simons 理论; Dunne-Jackiw-Pi-Trugenberg 模型; 涡旋

**中图分类号:** O189.11; O413.4

**文献标识码:** A

### 1 引言

涡旋(涡线)是一个很有趣的物理现象, 在研究凝聚态物理中扮演了重要的角色。从物理现象而言, 它是在物质凝聚体中形成的, 例如, 流体中的涡旋; 在第二类超导中, 当磁场  $H$  超过  $H_c$  时, 磁力线可以穿过超导体内部形成一些管状结构, 每个管内部的磁通量是量子化的, 这一现象称为涡线。这是 Abrikosov 利用描述外磁场中超导体的 Ginsburg-Landau 方程预言的, 后来被实验所证实。1973 年, Nielson 和 Olesen 研究发现<sup>[1]</sup>, 在  $2+1$  时空中, 标量场与规范场耦合的相对论模型中也存在涡线解。从纯数学角度看, 涡旋是一类拓扑孤粒子, 与对称群的拓扑性质相关, 是经典标量场的一类稳定解。近来, 在自旋  $1/2$  分量的 Bose-Einstein 凝聚体中也发现了涡旋结构<sup>[2]</sup>。对于像磁通这样的涡旋其解给出磁通量子化的最小单位  $\Phi_0 = 2\pi\hbar c/e$ , 总磁通  $\Phi = n\Phi_0$ , 其中  $n = \pm 0, \pm 1, \pm 2, \dots$  是与  $U(1)$  群的同伦群  $\pi_1(U(1)) = \mathbb{Z}$  相联系的。实际上, 这个整数就是涡旋解的映射度。所以, 类涡旋的物理现象反映了时空的对称与整体性质, 也就是拓扑性质。

Chern-Simons 形式是纤维丛上的次级示性类, 它在物理学的研究中有着非常重要的作用<sup>[3]</sup>。早在 1981 年, Schonfeld 第一次将 Chern-Simons 理论应用

到物理上, 得到了所谓的具有质量的拓扑规范理论<sup>[4]</sup>。1982 年, Deser 等<sup>[5]</sup>在研究 2 维物理现象时考虑了所谓的 Chern-Simons 理论, 也就是在  $2+1$  维空间中考虑 Chern-Simons 规范场理论后, 发现了许多新的物理效应, 例如, 分数角动量和分数统计<sup>[6]</sup>等, 而且, 能够解释量子霍尔效应<sup>[7]</sup>。1989 年, Witten 发现 3 维流形中纽结的拓扑不变量分类可以用 Chern-Simons 规范场理论的 Wilson 圈算子的配分函数重新解释。同时, 也发现这种理论提供了 3 维流形的一种新的拓扑不变量, 并且, 通过 Chern-Simons 规范理论的精确解, 他给出了纽结的拓扑不变量与这种新的拓扑不变量的关系<sup>[8]</sup>。实际上, Chern-Simons 规范场理论来源于 4 维流形中规范场的 Chern-Simons 第二特征类<sup>[9]</sup>——一个拓扑不变量, 因此, 在研究 3 维流形的物理和整体数学结构时是应该考虑的。所以, Chern-Simons 规范理论不但是研究 3 维空间拓扑特征的理论基础, 而且与低维物理的拓扑性质有着深刻的联系。Chern-Simons 规范场与其它场耦合可以得到各种  $2+1$  维场论模型, 当系统的 Hamilton 量取最小值, 就可以得到静态的孤立子解, 轴对称的孤立子解即为涡旋(涡线)。研究  $U(1)$  Chern-Simons 规范场一类模型时, 发现了自对偶 Chern-Simons 涡旋解。例如, 将 Chern-Simons 理论与 Abelian-Higgs 模型相结

\* 收稿日期: 2007 - 02 - 17; 修改日期: 2007 - 03 - 29

\* 基金项目: 中国科学院知识创新工程重点方向性资助项目 (KJX2-SW-No16, KJXC3-SYW-No2); 国家自然科学基金资助项目 (10435080, 10575123)

作者简介: 刘紫玉(1979 -), 男(汉族), 河北高邑人, 博士研究生, 从事理论物理研究工作。

# 通讯联系人: 李希国, E-mail: xgl@impcas.ac.cn

合可得到磁通型的涡旋<sup>[10-12]</sup>, 将 Chern-Simons 理论与非线性薛定谔方程结合可得非相对论的 Jackiw-Pi 模型<sup>[13]</sup>。R. Jackiw 和 So-Young Pi 在研究 Jackiw-Pi 模型时得到了一个静态的自对偶 Chern-Simons 涡旋解, 满足刘维尔方程。但他们只得到了考虑电子几率密度  $\rho \neq 0$  的情况。把 Jackiw-Pi 模型推广到非 Abel 情况, 即为 Dunne-Jackiw-Pi-Trugenerger (DJPT) 模型<sup>[14]</sup>。

本文运用段一士教授建立的  $\phi$ -映射拓扑流理论<sup>[15]</sup>研究了  $SU(2)$  规范下 DJPT 模型中  $\rho = 0$  处, 即涡旋中心位置的奇点性质, 得到了满足一个带有  $\delta$  函数项的刘维尔方程的自对偶解。加入  $\delta$  函数项后应不改变  $\rho \neq 0$  时的解的形式, 但对刘维尔方程积分后  $\delta$  函数项会给涡旋解一个约束。这就将自对偶解与涡旋奇点的拓扑性质联系起来, 从而得出一个完整的带有拓扑信息的涡旋解。利用此涡旋解在全空间积分可得到涡旋的磁通是量子化的。

## 2 (2 + 1) 维 $\phi$ -映射拓扑流理论

近年来, 人们发现在物理体系中存在两类守恒流, 一类是 Noether 流, 它依赖于物理体系的作用量; 另一类是拓扑守恒流, 依赖于物理体系的拓扑性质, 它是自然守恒的。本节中将介绍低维平直时空的拓扑流理论。

设  $M \otimes R$  是一个  $2 + 1$  维光滑流形, 局域坐标为  $x^\mu (\mu = 0, 1, 2)$ , 其中  $x^0 = t \in R$  表示时间变量。考虑一个光滑映射  $\phi : M \otimes R \rightarrow R^2$ , 其中  $R^2$  是一个 2 维欧氏空间, 可得一个 2 维光滑矢量场

$$\phi^a = \phi^a(x, t), \quad a = 1, 2 \quad (1)$$

可以定义  $\phi(x)$  的单位矢量场为<sup>[15]</sup>

$$n^a = \frac{\phi^a}{\phi}, \quad (2)$$

其中  $\phi \geq 0, \phi^2 = |\phi|^2 = \phi^a \phi^a$ , 采用爱因斯坦求和规则, 下同。显然满足约束条件

$$n^a n^a = 1, \quad (3)$$

此条件表明单位矢量场是  $M \otimes R \rightarrow S^1$  的一个映射。用这个单位矢量可构造  $M$  流形上的一个守恒流

$$j^\mu(x) = \frac{1}{2\pi} \epsilon^{\mu\mu_1\mu_2} \epsilon_{a_1 a_2} \partial_{\mu_1} n^{a_1} \partial_{\mu_2} n^{a_2}, \quad (4)$$

自然满足守恒条件

$$\partial_\mu j^\mu = 0. \quad (5)$$

由于这个守恒流不是 Lagrange 变分原理下的守恒量, 所以称为拓扑流。

利用微分关系

$$\partial_\mu n^a = \frac{\delta^{ab} \phi^2 - \phi^a \phi^b}{\phi^3} \partial_\mu \phi^b, \quad (6)$$

若定义雅可比行列式为

$$\begin{aligned} \epsilon^{a_1 a_2} D^\mu \left( \frac{\phi}{x} \right) &= \epsilon^{\mu\mu_1\mu_2} \partial_{\mu_1} \phi^{a_1} \partial_{\mu_2} \phi^{a_2}, \\ D^0 \left( \frac{\phi}{x} \right) &= D \left( \frac{\phi}{x} \right), \end{aligned} \quad (7)$$

在  $R^2$  中使用  $\phi$  场满足的拉普拉斯算子关系

$$\frac{\partial^2}{\partial \phi^a \partial \phi^a} \ln(\phi) = 2\pi \delta(\phi), \quad (8)$$

拓扑流  $j^\mu(x)$  可表示为如下形式<sup>[16]</sup>:

$$j^\mu = \delta(\phi) D^\mu \left( \frac{\phi}{x} \right). \quad (9)$$

设  $\phi$  场有  $m$  个独立的零点, 且它的第  $i$  个零点在  $x = z_i$  处, 根据  $\delta$  函数理论<sup>[15]</sup>有

$$\delta(\phi) = \sum_{i=1}^m \frac{\beta_i \delta(x - z_i)}{|D(\phi/x)|_{x=z_i}},$$

并且由  $\phi(z_i(t), t) = 0$  可得

$$\frac{dz_i(t)}{dt} = \frac{D^\mu(\phi/x)}{D(\phi/x)} \Big|_{x=z_i}.$$

将上述两式代入(9)式得

$$j^\mu = \sum_{i=1}^m \beta_i \eta_i \delta(x - z_i(t)) \frac{dz_i^\mu}{dt}, \quad (10)$$

其中

$$\eta_i = \frac{D(\phi/x)}{\|D(\phi/x)\|} = \pm 1 \quad (11)$$

为  $\phi$ -映射的 Brouwer 度, 而  $\beta_i$  是  $\phi$ -映射的 Hopf 指标<sup>[17]</sup>, 是一个正整数。

拓扑数密度为

$$j^0 = \sum_{i=1}^m \beta_i \eta_i \delta(x - z_i), \quad (12)$$

相应的拓扑数为

$$Q = \int_M J^0 d^2(x) = \sum_{i=1}^m \beta_i \eta_i \quad (13)$$

### 3 DJPT 模型的自对偶方程

2+1 维非相对论的自对偶 Chern-Simons 系统描述物质场  $\Psi$  的非相对论动力学,它与规范势  $A_\mu$  耦合时,系统的拉氏量一般可写为<sup>[14]</sup>

$$\begin{aligned} L_{\text{CS}} = & -k\varepsilon^{\mu\nu\rho} \text{tr}(A_\mu \partial_\nu A_\rho + \frac{2}{3}A_\mu A_\nu A_\rho) + \\ & i\text{tr}(\Psi^\dagger D_0 \Psi) - \frac{1}{2}\text{tr}((D_i \Psi)^\dagger D_i \Psi) + \\ & \frac{1}{4\kappa} \text{tr}([\Psi^\dagger, \Psi]^2), \\ & (\hbar = c = m = 1) \end{aligned} \quad (14)$$

设  $U$  是  $SU(2)$  群的一个表示,则  $SU(2)$  群的规范势  $A_\mu$  满足如下规范变换:

$$A_\mu \rightarrow U^{-1} A_\mu U + U^{-1} \partial_\mu U, \quad (15)$$

$$A_\mu = A_\mu^a T^a, \quad (16)$$

$$T^a = \frac{1}{2i} \sigma^a, \quad (17)$$

其中  $\sigma^a$  是 Pauli 矩阵。

由(14)式,可知非线性 Schrödinger 方程为<sup>[14]</sup>

$$iD_0 \Psi = -\frac{1}{2} D^2 \Psi - \frac{1}{2\kappa} \rho [[\Psi, \Psi^\dagger], \Psi], \quad (18)$$

$\Psi$  的协变微商为

$$D_\mu \Psi \equiv \partial_\mu \Psi + [A_\mu, \Psi], \quad (19)$$

密度矩阵为

$$\rho = [\Psi, \Psi^\dagger]. \quad (20)$$

Chern-Simons 方程为

$$\partial_x A_y - \partial_y A_x + [A_x, A_y] \equiv -B = \frac{i}{\kappa} \rho, \quad (21)$$

$$\partial_i A_0 - \partial_i A_i + [A_i, A_0] \equiv -E^i = \frac{1}{\kappa} \varepsilon^{ij} j^j, \quad (22)$$

这里  $j^j$  是空间流密度

$$j^j = -\frac{i}{2} ([\Psi^\dagger, D_i \Psi] - [(D_i \Psi)^\dagger, \Psi]). \quad (23)$$

利用如下变换

$$A_\pm = A_x \pm iA_y, \quad (24)$$

$$\partial_\pm = \partial_x \pm i\partial_y. \quad (25)$$

由(14)式可导出自对偶方程和 Chern-Simons 方程<sup>[14]</sup>为

$$\partial_\pm \Psi + [A_\mp, \Psi] = 0, \quad (26)$$

$$\partial_\mp \Psi^\dagger + [A_\mp, \Psi^\dagger] = 0, \quad (27)$$

$$\begin{aligned} \partial_\pm A_\mp - \partial_\mp A_\pm + [A_\pm, A_\mp] = & \pm \frac{2}{\kappa} [\Psi, \Psi^\dagger]. \end{aligned} \quad (28)$$

假设规范势和物质场矩阵  $\Psi$  可以由  $su(2)$  李代数的 Chevalley 基进行分解<sup>[14]</sup>

$$\Psi = \phi E_1, \quad (29)$$

$$A_+ = -a^* H, \quad (30)$$

$$A_- = aH, \quad (31)$$

这里  $H$  和  $E_{\pm 1}$  为  $su(2)$  李代数的 Chevalley 基,满足如下关系

$$H = \sigma_z, \quad (32)$$

$$E_{\pm 1} = \frac{1}{2}(\sigma_x \pm i\sigma_y), \quad (33)$$

$$[E_1, E_{-1}] = H, \quad (34)$$

$$[H, E_{\pm 1}] = \pm 2E_{\pm 1}, \quad (35)$$

$su(2)$  李代数的嘉当矩阵为  $1 \times 1$ , 其元素为 2。将(29)式和(33)式代入(20)式,并注意(34)式,可得

$$\rho = \phi^* \phi H = \rho_0 H, \quad (36)$$

其中

$$\rho_0 = \phi^* \phi. \quad (37)$$

对  $\phi$  和  $a$  做如下分解<sup>[18]</sup>

$$\phi = \phi_1 + i\phi_2, \quad \phi^* = \phi_1 - i\phi_2; \quad (38)$$

$$a = a_1 - ia_2, \quad a^* = a_1 + ia_2, \quad (39)$$

其中  $\phi_a$  和  $a_a$  均为实标量场,定义单位矢量场

$$n_a = \frac{\phi^a}{\|\phi\|}, \quad a = 1, 2 \quad (40)$$

这里

$$\|\phi\|^2 = \phi^+ \phi = \phi_a \phi_a. \quad (41)$$

将(31)式代入  $\partial_- \Psi + [A_-, \Psi] = 0$ , 并利用(38)式和(39)式可得<sup>[18]</sup>

$$\nabla^2 \ln \rho_0 = -\frac{4}{\kappa} \rho_0 - \varepsilon^{ij} \varepsilon^{ab} \partial_i n^a \partial_j n^b. \quad (42)$$

同理,由  $\partial_+ \Psi + [A_+, \Psi] = 0$ , 可得

$$\nabla^2 \ln \rho_0 = \frac{4}{\kappa} \rho_0 + \varepsilon^{ij} \varepsilon^{ab} \partial_i n^a \partial_j n^b. \quad (43)$$

利用(6)式、(7)式和(8)式, (42)式和(43)式可以合写为

$$\nabla^2 \ln \rho_0 = \mp \frac{4}{\kappa} \rho_0 \mp 4\pi \delta^2(\boldsymbol{\phi}) J\left(\frac{\boldsymbol{\phi}}{\mathbf{r}}\right), \quad (44)$$

其中  $J(\boldsymbol{\phi}/\mathbf{x})$  是雅可比行列式,

$$J\left(\frac{\boldsymbol{\phi}}{\mathbf{x}}\right) = \frac{1}{2} \varepsilon^{ab} \varepsilon^{ij} \frac{\partial \phi_a}{\partial x^i} \frac{\partial \phi_b}{\partial x^j}, \quad i, j = 1, 2. \quad (45)$$

当  $\rho_0 \neq 0$ , (44)式会变为刘维尔方程

$$\nabla^2 \ln \rho_0 = \mp \frac{4}{\kappa} \rho_0, \quad (46)$$

其轴对称解为<sup>[13]</sup>

$$\rho_0 = 2 |k| \frac{|f'(z)|^2}{(|f(z)|^2 + 1)^2}, \quad (47)$$

其中  $z = x + iy$ ,  $f(z)$  是  $z$  的任意函数。由于  $\rho \geq 0$ , 则(44)式只能是

$$\nabla^2 \ln \rho_0 = - \frac{4}{|\kappa|} \rho_0 - \text{sgn} \kappa 4\pi \delta^2(\boldsymbol{\phi}) D\left(\frac{\boldsymbol{\phi}}{\mathbf{r}}\right), \quad (48)$$

当且仅当  $f(z)$  取比例函数形式时

$$f(z) = \frac{P(z)}{Q(z)}, \quad (49)$$

其中

$$\deg P < \deg Q,$$

亚纯函数  $f(z)$  可产生一具有有限磁通量规则的涡旋解<sup>[19]</sup>。通常我们可将  $f(z)$  写成一些函数的和<sup>[20]</sup>:

$$f(z) = \sum_{a=1}^m \left(\frac{c_a}{z - z_a}\right)^{N_a}, \quad (50)$$

其中  $z_a$  和  $c_a$  是复平面上的常量。由于  $\deg P < \deg Q$ , 所以这里要求  $N_a > 0$ 。(50)式是描述了  $m$  个涡旋的多涡旋解, 其中第  $a$  个涡旋的荷为  $N_a$ 。所以在此多涡旋解中包含了  $5m$  个参量:  $z_a$  中包含  $2m$  个实参量, 它描述了每个涡旋的位置; 而  $c_a$  中的  $2m$  个实参量描述了每个涡旋的尺度和相位; 还有  $m$  个参量  $N_a$  描述了每个涡旋的荷。

## 4 DJPT 模型多涡旋解的拓扑结构

这节从(48)式出发讨论涡旋解的具体形式以及其拓扑结构,  $\nabla^2 \ln \rho_0$  在极坐标系下可做如下展开:

$$\nabla^2 \ln \rho_0 = \frac{\partial^2}{\partial^2 r} \ln \rho_0 + \frac{1}{r} \frac{\partial}{\partial r} \ln \rho_0, \quad (51)$$

而在极坐标系中

$$z_a = r_a e^{i\theta}, \quad (52)$$

其中  $r_a$  就是第  $a$  个涡旋中心处的坐标, 将方程(48)式在每个涡旋的中心附近进行积分, 可得

$$\int_r^{r+r_\varepsilon} \nabla^2 \ln \rho_0 dr = -4 \text{sgn} \kappa \pi \int_r^{r+r_\varepsilon} \delta^2(\boldsymbol{\phi}) J\left(\frac{\boldsymbol{\phi}}{\mathbf{r}}\right) dr, \quad (53)$$

式中  $r_\varepsilon$  为无穷小矢量。

由(9)式可知

$$\delta^2(\boldsymbol{\phi}) = \sum_{a=1}^m \frac{\beta_a}{\left|J\left(\frac{\boldsymbol{\phi}}{\mathbf{r}}\right)\right|_{r=r_a}} \delta^2(\mathbf{r} - \mathbf{r}_a).$$

我们可得

$$\int_r^{r+r_\varepsilon} \delta^2(\boldsymbol{\phi}) J\left(\frac{\boldsymbol{\phi}}{\mathbf{r}}\right) dr = \beta_a \eta_a, \quad (54)$$

其中  $\beta_a$  称为 Hopf 指标, 它是一个正整数, 表示当  $\mathbf{r}$  覆盖零点  $z_a$  的邻域一次, 矢量场  $\boldsymbol{\phi}$  将覆盖  $\phi$  空间的相应邻域  $\beta_a$  次。而

$$\eta_a = \text{sgn} J\left(\frac{\boldsymbol{\phi}}{\mathbf{r}}\right) \Big|_{r=r_a} = \pm 1 \quad (55)$$

称为矢量场  $\boldsymbol{\phi}$  的 Brouwer 度。

如果定义拓扑数

$$Q_a = \beta_a \eta_a \text{ (不求和)}, \quad (56)$$

则从(53)式可解出

$$N_a - 1 = -\text{sgn} \kappa Q_a, \quad (57)$$

由此看出  $\kappa$  的符号应与雅可比行列式  $J(\boldsymbol{\phi}/\mathbf{r})$  的符号相反。其实, 拓扑数  $Q$  局域拓扑性质是由涡旋的中心位置附近  $\psi$  场的拓扑指数  $\beta$  和  $\eta$  决定, 而其整体性质是由  $\psi$  场的映射度决定<sup>[21]</sup>。

由(36)式可得涡旋的密度矩阵

$$\rho = \rho_0 H, \quad (58)$$

图 1 和图 2 分别给出了 2 个和 3 个涡旋的示意图。

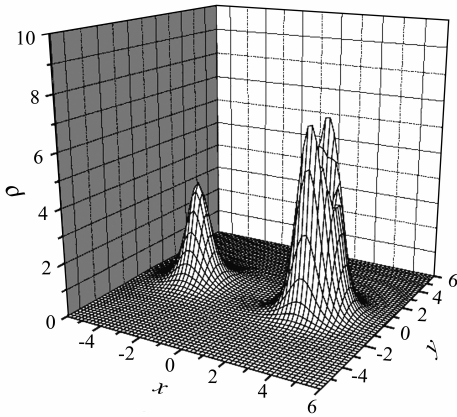


图 1 2 个涡旋  $\rho$  的分布 ( $Q_1=0, Q_2=1$ )

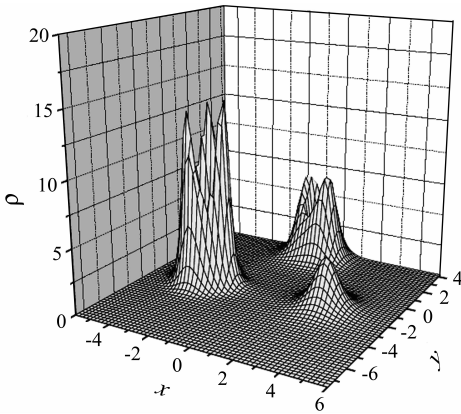


图 2 3 个涡旋  $\rho$  的分布 ( $Q_1=0, Q_2=1, Q_3=2$ )

如果定义单位磁通

$$\Phi_0 = 2i\pi H, \tag{59}$$

利用(21)式可得涡旋总的磁通

$$\Phi = \int_0^\infty \mathbf{B}d\mathbf{r} = -2\text{sgn}\kappa\Phi_0[-\text{sgn}\kappa Q + m], \tag{60}$$

其中

$$Q = \sum_{a=1}^m \beta_a \eta_a \tag{61}$$

是体系的总拓扑数。

## 5 结论

2 + 1 维 DJPT 模型是描述 Chern-Simons 场与非相对论复标量场耦合的理论, 是与传统非 Abel 规范

理论不同的规范理论。通过求系统的哈密顿量的极小值, 就可以得到自对偶方程。当这个系统的对称群为  $SU(2)$  群时, 通过  $\phi$ -映射理论研究了物质场在奇点处的性质。结果表明, 物质场在奇点处的性质反映了涡旋的拓扑性质, 所以包含奇点的自对偶解自然地带有拓扑信息, 通过对自对偶解在全空间的积分得到了每个涡旋的荷, 是由 Hopf 指标和 Brower 度共同确定的。另外, 可以看出磁通是量子化的, 并得到体系的磁通量与体系的拓扑数之间的关系, 即物理体系的总磁通量是由其拓扑性质决定的, 是个拓扑不变量。2 + 1 维 DJPT 模型中也可以存在多个涡旋解, 其磁通量关系满足(60)式。

## 参考文献 (References):

[1] Nielsen H B, Olesen P. Nucl Phys, 1973, **B61**: 45.  
 [2] Jia Duo jie, Duan Yishi, Li Xiguo. Phys Lett, 2001, **A289**: 245; Li Xiguo, Jia Duo jie, Gao Yuan. High Energy Physics and Nuclear Physics, 2003, **27**: 12 (in Chinese). (李希国, 贾多杰, 高远. 高能物理与核物理, 2003, **27**: 12.)  
 [3] Chern S S. Simons Ann Math, 1974, **99**: 48.  
 [4] Schonfeld J. Nucl Phys, 1981, **B185**: 157.  
 [5] Deser S, Jackiw R, Templeton S. Phys Rev Lett, 1982, **48**: 975.  
 [6] Forte S. Rev Mod Phys, 1992, **64**: 193.  
 [7] Nayak C, Wilczek F. Phys Rev Lett, 1996, **77**: 4 418.  
 [8] Witten E. Commun Math Phys, 1989, **121**: 351.  
 [9] Nash C. Differential Topology and Quantun Field Theory. London: Academic Press, 1992, 223.  
 [10] Jackiw R, Weinberg E J. Phys Rev Lett, 1990, **64**: 2 234.  
 [11] Jackiw R, Lee K, Weinberg E J. Phys Rev, 1990, **D42**: 3 488.  
 [12] Jackiw R, Pi S Y. Phys Rev, 1990, **D42**: 3 500.  
 [13] Jackiw R, Pi S Y. Phys Rev Lett, 1990, **64**: 2 969.  
 [14] Dunne G V, Jackiw R, Pi S Y, *et al.* Phys Rev, 1991, **D43**: 1 332.  
 [15] Duan Yishi. 1984, SLAC-PUB-3301.  
 [16] Li Xiguo. Nuclear Physics Review, 2000, **17**(4): 201 (in Chinese). (李希国. 原子核物理评论, 2000, **17**(4): 201.)  
 [17] Duan Yishi, Zhang Hong, Jia Guang. Phys Lett, 1999, **A253**: 57.  
 [18] Lee Xiguo, Liu Ziyu, Li Yongqing, *et al.* Common Theor Phys, 2007, **48**: 143.  
 [19] Lee Xiguo, Liu Ziyu, Li Yongqing, *et al.* arXiv: hep-th / 0610142.  
 [20] Horvathy P A, Yera J C. Lett Math Phys, 1998, **46**: 111.  
 [21] Duan Yishi, Lee Xiguo. Helv Phys Acta, 1995, **68**: 513.

# Topological Structure of $SU(2)$ Chern-Simons Vortices\*

LIU Zi-yu<sup>1,3</sup>, LI Xi-guo<sup>1,2,#</sup>, ZHANG Peng-ming<sup>1,2</sup>, LI Yong-qing<sup>1,3</sup>

(1 *Institute of Modern Physics, Chinese Academy of Sciences, Lanzhou 730000, China;*

2 *Center of Theoretical Nuclear Physics, National Laboratory of Heavy Ion Collisions, Lanzhou 730000, China;*

3 *Graduate School of Chinese Academy of Sciences, Beijing 100049, China*)

**Abstract:** The self-dual equation and its solution in  $SU(2)$  Dunne-Jackiw-Pi-Trugenberg model has been discussed with special ansatz for the Lie algebraic structures of  $su(2)$  and gauge potential decomposition. We obtained a new concrete self-dual equation and found the relationship between  $SU(2)$  Chern-Simons vortices and topological number which is determined by Hopf indices and Brouwer degrees of  $\phi$ -mapping.  $M$ -vortices solutions are described by using  $5m$  parameters (two positions, one scale, one phase per vortex and one charge of each vortex). The quantization of flux is also studied in this case.

**Key words:** Chern-Simons theory; Dunne-Jackiw-Pi-Trugenberg model; vortex

---

\* **Received date:** 7 Feb. 2007; **Revised date:** 29 Mar. 2007

\* **Foundation item:** Knowledge Innovation Project of Chinese Academy of Sciences (KJX2-SW-No16, KJCX3-SYW-No2); National Natural Science Foundation of China (10435080, 10575123)

# **Corresponding author:** Li Xi-guo, E-mail: xgl@impcas.ac.cn